

# Strukturberechnung von Faserverbundlaminaten

## 2. Mikromechanik und Homogenisierung des Faser-Matrix-Verbundes

28.10.2019 – Übung

Dr.-Ing. Luise Kärger

Institut Fahrzeugsystemtechnik (FAST), Teilinstitut für Leichtbautechnologie



# Übersicht Vorlesung „Berechnung von Faserverbundlaminaten“

## Stundenverteilung

1. 14.10. 1. Einführung Faserverbundlaminat
2. 21.10. 2. Mikromechanik, Homogenisierung
- 3. 28.10. Übung Homogenisierung und Versagensmechanismen auf Mikroebene**
4. 04.11. 3. Makromechanisches Verhalten der Einzelschicht
5. 11.11. 4.1 Verhalten des Mehrschichtverbundes: Klassische Laminattheorie
6. 18.11. 4.2 Verhalten des Mehrschichtverbundes: Laminattheorien höherer Ordnung
7. 25.11. Übung Mehrschichtverbund  
(+ Austeilung der Abaqus-Übungsaufgaben Mehrschichtlaminat)
8. 02.12. 5. Finite Elementformulierungen für Mehrschichtlaminat
9. 09.12. Abaqus-Übung Mehrschichtlaminat
10. 16.12. 6.1 Versagensanalyse von Mehrschichtlaminaten  
(+ Austeilung der Abaqus-Übungsaufgaben Schädigungsmodellierung)
11. 13.01. 6.2 Schädigungsanalyse von Mehrschichtlaminaten
12. 20.01. Abaqus-Übung Schädigungsmodellierung
13. 27.01. 7. Auslegung von Mehrschichtlaminaten
14. 03.02. Zusammenfassung und Wiederholung

**Prüfungstermine** (Anmeldung: gabriele.mueller-kuhn@kit.edu)

■ Mo. 17.02.2018, 9:00-12:00

■ Mo. 02.03.2018, 9:00-12:00

■ mit Vorbehalt:

Do. 16.04.2018, 9:00-12:00

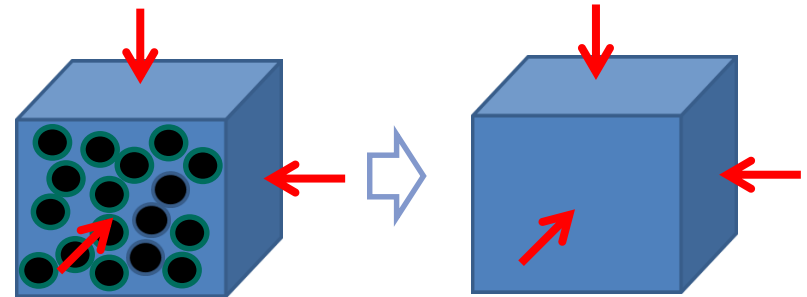
# Übersicht Vorlesung „Berechnung von Faserverbundlaminaten“

1. Einleitung
2. **Mikromechanik und Homogenisierung des Faser-Matrix-Verbundes**
  - **Homogenisierung der Steifigkeiten: kurze Wiederholung**
  - **Übung: Effektive Steifigkeiten**
  - **Versagensmechanismen auf Mikroebene: Veranschaulichung**
  - **Übung: Effektive Festigkeiten**
3. Makromechanisches Verhalten der Einzelschicht
4. Makromechanisches Verhalten des Mehrschichtverbunds
5. Finite Elementformulierungen für Mehrschichtlaminat
6. Versagens- und Schädigungsanalyse von Mehrschichtlaminaten
7. Auslegung von Mehrschichtlaminaten

## 2 Mikromechanik (Wiederholung)

### Homogenisierung

- Überführung des heterogenen Materials in ein homogenes Material so dass makroskopisch ein äquivalentes Materialverhalten abgebildet wird
- Annahmen: regelmäßige Anordnung, periodische Randbedingungen, homogene Komponenten, ideale Verbindung zw. Faser und Matrix etc.



### Effektivkennwerte sind abhängig von

- Matrixmaterial (isotrope Materialeigenschaften)
- Fasermaterial (isotrope oder querisotrope Materialeigenschaften)
- (Faserorientierung, Lagenaufbau)
- Faservolumengehalt  $\varphi$   
(Volumen der Fasern bezogen auf das Gesamtvolumen der Einzelschicht)

$$\varphi = \frac{V_f}{V_{\text{Verbund}}} = \frac{A_f}{A_{\text{Verbund}}} = \frac{t_f}{t_{\text{Verbund}}}$$

$V_f$  = Volumen der Fasern im betrachteten Verbundvolumen  
 $A_f$  = Querschnittsfläche der Fasern im betrachteten Verbundquerschnitt

## 2 Mikromechanik (Wiederholung)

### Homogenisierungsmethoden

- Abbildung von Materialeinschlüssen
- Energie-basiert (z.B. Voigt und Reuss)
- Semiempirische Modelle
- FE-basiert

### Voigt-Reuss-Schranken

- Verzerrungsenergie formuliert bzgl. des Verzerrungsfeldes oder des Spannungsfeldes
- Voigt: konst. Verzerrungsfeld  $\rightarrow$  parallel geschaltete Federn  $\rightarrow$  Mischungsregel für Steifigkeiten
- Reuss: konst. Spannungsfeld  $\rightarrow$  in Reihe geschaltete Federn  $\rightarrow$  Mischungsregel für Nachgiebigkeiten

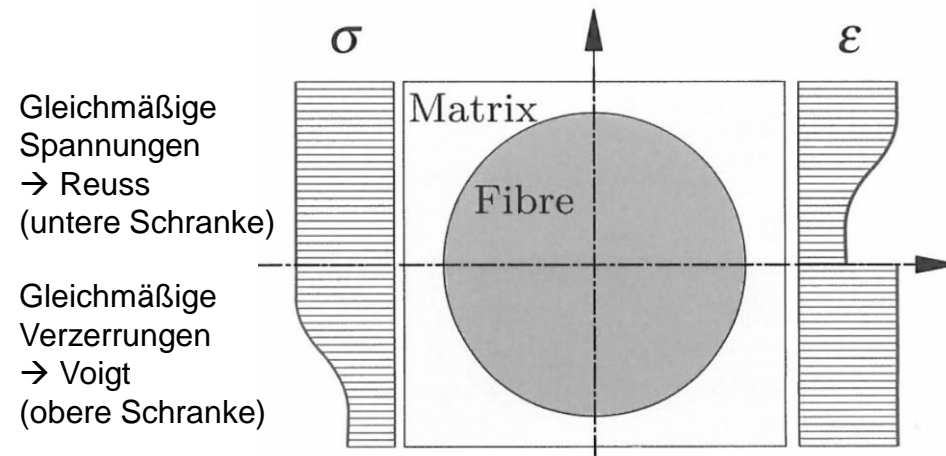
$$U \leq U(\boldsymbol{\varepsilon}) = \frac{1}{2} \int (\bar{C}_{ij} \varepsilon_j) \varepsilon_i dV$$

$$\bar{E}_1 \leq \bar{E}_1^{(\varepsilon)} = \varphi E_{1f} + (1 - \varphi) E_m$$

$$U \leq U(\boldsymbol{\sigma}) = \frac{1}{2} \int \sigma_i (\bar{S}_{ij} \sigma_j) dV$$

$$\frac{1}{\bar{E}_2} \leq \frac{1}{\bar{E}_2^{(\sigma)}} = \frac{\varphi}{E_{2f}} + \frac{(1 - \varphi)}{E_m}$$

- Voigt: gute Näherung in Faserrichtung
- Reuss: schlechte Näherung quer zur Faserrichtung



[D. Hartung, NAFEMS Training Course, Simulation und Analyse von Composites]

## 2 Mikromechanik (Wiederholung)

### Semiempirische Homogenisierungsmethoden

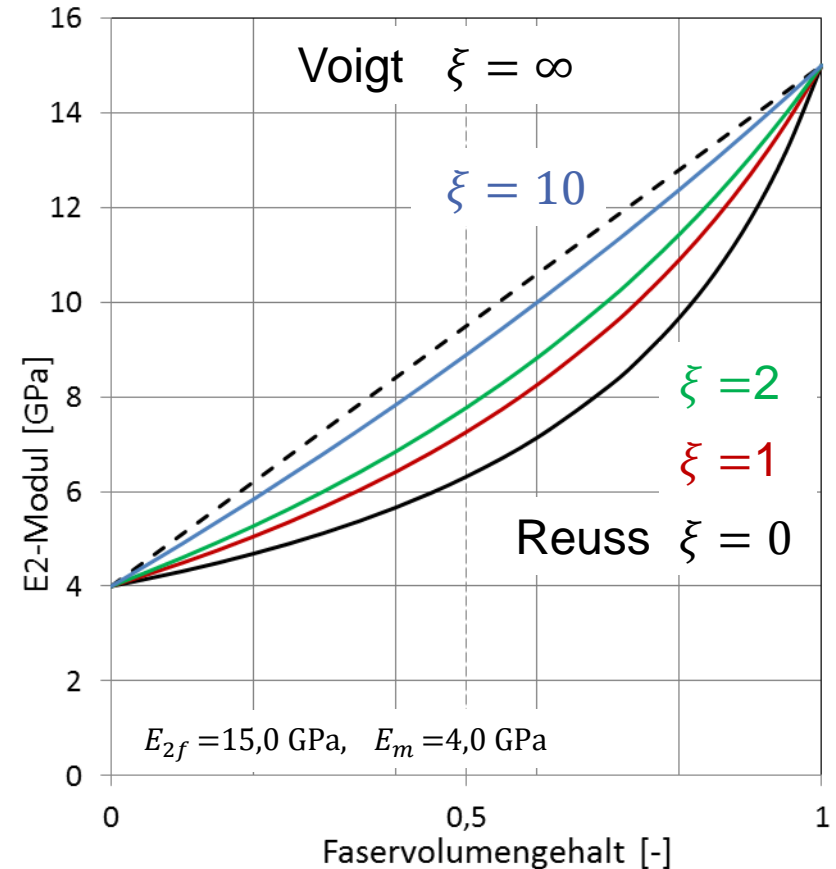
- Korrigierte Mischungsregeln für effektive Steifigkeiten quer zur Faserrichtung
- Modell nach Halpin-Tsai mit Parameter  $\xi$  zur Kurvenanpassung an  $E_2$

$$\bar{E}_2 = \frac{(1 + \xi\eta\varphi)}{1 - \eta\varphi} E_m \quad \text{mit} \quad \eta = \frac{E_{2f} - E_m}{E_{2f} + \xi E_m}$$

- Weitere empirische Ansätze nach Puck, Chamis, u.v.m.

### FE-basierte Homogenisierung

- Modellierung eines RVE
- Aufbringung periodischer Randbedingungen
- Berechnung der homogenisierten Steifigkeitsmatrix  $\bar{C}_{ij}$  ( $i, j = 1 \dots 6$ ) auf Basis der „Asymptotischen Homogenisierungsmethode“ (AHM)
- FE-Berechnung des Verschiebungs- und Spannungsfeldes innerhalb des RVE



# Übersicht Vorlesung „Berechnung von Faserverbundlaminaten“

1. Einleitung
2. **Mikromechanik und Homogenisierung des Faser-Matrix-Verbundes**
  - Homogenisierung der Steifigkeiten: kurze Wiederholung
  - **Übung: Effektive Steifigkeiten**
  - Versagensmechanismen auf Mikroebene: Veranschaulichung
  - *Übung: Effektive Festigkeiten*
3. Makromechanisches Verhalten der Einzelschicht
4. Makromechanisches Verhalten des Mehrschichtverbunds
5. Finite Elementformulierungen für Mehrschichtlaminat
6. Versagens- und Schädigungsanalyse von Mehrschichtlaminaten
7. Auslegung von Mehrschichtlaminaten

## 2 Mikromechanik: Homogenisierung der Steifigkeiten

### Beispiel zur Anwendung der Homogenisierungsmethoden

- E-Glasfasern als UD-Verstärkungen in Epoxidharzmatrix eingebettet
- Messungen am Verbund und am Reinharz durchgeführt

#### Verbundwerte

E-Glas/Epoxy mit  $\varphi = 0,6$

$$E_1 = 45 \text{ GPa}$$

$$E_2 = 12 \text{ GPa}$$

$$G_{12} = 4,4 \text{ GPa}$$

$$\nu_{12} = 0,25$$

$$\nu_{23} = 0,25$$

#### Reinharzwerte

Epoxy

$$E_m = 3,3 \text{ GPa}$$

$$\nu_m = 0,3$$

$$G_m = E_m / [2(1 + \nu_m)] = 1,27 \text{ GPa}$$

#### Aufgabe:

- Verbundeigenschaften  $E_1$  und  $E_2$  für  $\varphi = 0,5$  unter Anwendung verschiedener Homogenisierungsmethoden bestimmen
- Zuglast in Faserrichtung: Welcher Anteil der Zuglast wird von den Fasern, welcher Anteil wird von der Matrix aufgenommen?

## 2 Mikromechanik: Homogenisierung der Steifigkeiten

### Beispiel zur Anwendung der analytischen Homogenisierungsmethoden

- 1. Schritt: Ermittlung der Faserkennwerte (inverse Anwendung)
- 2. Schritt: Ermittlung der Laminatwerte (direkte Anwendung)

#### 1. Faserkennwerte in Längsrichtung

$$E_{f1} = E_{f2} = 72,8 \text{ GPa}, \quad \nu_f = 0,217$$

$$\text{Glasfaser isotrop} \rightarrow G_f = E_f / [2(1 + \nu_f)] = 29,91 \text{ GPa}$$

#### 2. a) Effektive Kennwerte in Längsrichtung bei $\varphi = 0,5$

$$E_1 = 38,0 \text{ GPa}, \quad \nu_{12} = 0,258$$

#### 2. b) Aufnahme der Zuglast in Faserrichtung

$$\varphi = 0,5: \quad \frac{F_{1f}}{F_1} = \frac{E_{1f}A_f}{E_1A_{\text{ges}}} = \frac{72,8 \cdot 0,5}{38 \cdot 1} = 0,96$$

$$\varphi = 0,6: \quad \frac{F_{1f}}{F_1} = 0,97$$

## 2 Mikromechanik: Homogenisierung der Steifigkeiten

### Beispiel zur Anwendung der analytischen Homogenisierungsmethoden

- 1. Schritt: Ermittlung der Faserkennwerte (inverse Anwendung)
- 2. Schritt: Ermittlung der Laminatwerte (direkte Anwendung)

#### 2. c) In Querrichtung ergeben sich je nach Formel unterschiedliche Werte

$$\bar{E}_2^{(\text{Reuss})} = 6,31 \text{ GPa}$$

$$\bar{E}_2^{(\text{HT}, \xi=1)} = 8,85 \text{ GPa}$$

$$\bar{E}_2^{(\text{HT}, \xi=1,22)} = 9,35 \text{ GPa}$$

$$\bar{E}_2^{(\text{Puck})} = 9,86 \text{ GPa}$$

$$\bar{E}_2^{(\text{Chamis})} = 10,16 \text{ GPa}$$

$$\bar{E}_2^{(\text{HT}, \xi=2)} = 11,0 \text{ GPa}$$

$$\bar{E}_2^{(\text{Voigt})} = 38,0 \text{ GPa}$$

#### Halpin-Tsai

Herleitung von  $\xi$  anhand der Versuchswerte bei  $\varphi = 0,6$

$$\bar{E}_2^{(\varphi=0,6)} = 12 \text{ GPa} \quad \Leftrightarrow \quad \xi = 1,22$$

Mittelwert aus fünf empirischen Formeln:  $E_2 = 9,84 \text{ GPa}$

Abweichungen mit Größenordnung von  $\pm 10\%$

→ Formeln berücksichtigen nur die Materialeigenschaften.

Faseranordnung und Fasergeometrie werden nicht explizit erfasst.

zur Berücksichtigung von Faseranordnung und Fasergeometrie: Bestimmung der effektiven Kennwerte über numerische Homogenisierung mittels RVE

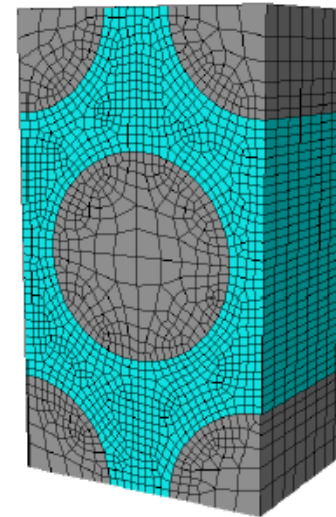
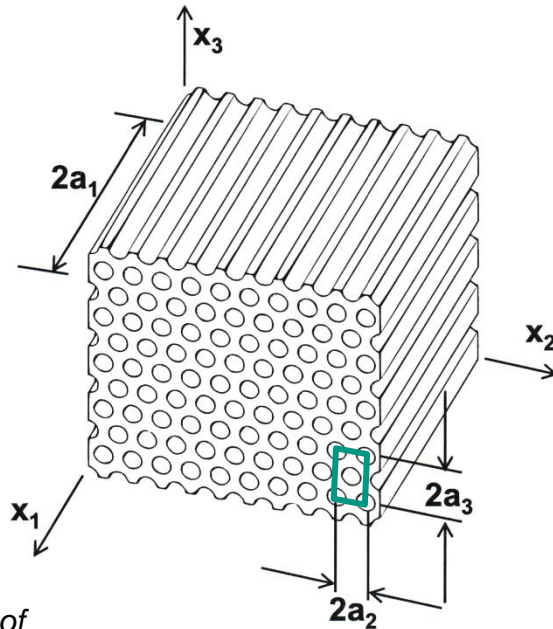
# 2 Mikromechanik: Homogenisierung der Steifigkeiten

## Beispiel zur Anwendung der numerischer Homogenisierungsmethoden

### Numerische Homogenisierung mittels RVE

- Aufbau des repräsentativen Volumenelements (RVE)
  - Zusätzliche Informationen erforderlich: Anordnung der Fasern, Querschnittsgeometrie des Faser
  - Abmessungen  $a_i$  des RVE ergeben sich aus Faseranordnung, -durchmesser und -volumengehalt
  - Vernetzung des RVE mit finiten Volumenelementen

Beispiel  
hexagonale  
Faseranordnung:



← Faserkennwerte  
 $E_f = 72,8 \text{ GPa}$   
 $\nu_f = 0,217$

← Matrixkennwerte  
 $E_m = 3,3 \text{ GPa}$   
 $\nu_m = 0,3$

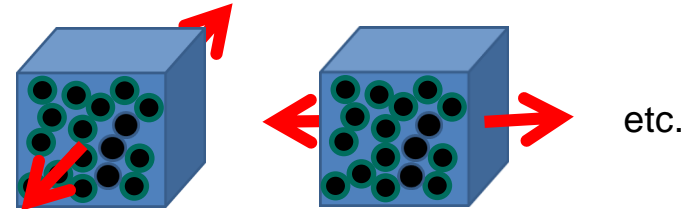
[Barbero: FE Analysis of Composite Materials (2013)]

# 2 Mikromechanik: Homogenisierung der Steifigkeiten

## Beispiel zur Anwendung der numerischer Homogenisierungsmethoden

### Numerische Homogenisierung mittels RVE

- Definition der 6 Einheitsrandbedingungen
- 6 Simulationen des RVE für die 6 Lastfälle
- Berechnung der Steifigkeitskomponenten  $\bar{C}_{ij}$



$$\begin{pmatrix} \sigma_1 \\ \sigma_2 \\ \sigma_3 \\ \sigma_4 \\ \sigma_5 \\ \sigma_6 \end{pmatrix} = \begin{bmatrix} C_{11} & C_{12} & C_{13} & 0 & 0 & 0 \\ C_{12} & C_{22} & C_{23} & 0 & 0 & 0 \\ C_{13} & C_{23} & C_{33} & 0 & 0 & 0 \\ 0 & 0 & 0 & 0,5(C_{22} - C_{23}) & 0 & 0 \\ 0 & 0 & 0 & 0 & C_{66} & 0 \\ 0 & 0 & 0 & 0 & 0 & C_{66} \end{bmatrix} \begin{pmatrix} \epsilon_1 \\ \epsilon_2 \\ \epsilon_3 \\ \epsilon_4 \\ \epsilon_5 \\ \epsilon_6 \end{pmatrix}$$

Berechnung von  $\bar{C}_{ij}$   
über die lokalen  
Spannungen im RVE:

$$\bar{C}_{ij} = \frac{1}{|V|} \int [\sigma_i(\mathbf{u}^j)] dV$$

- erste Spalte der Steifigkeitsmatrix über Randbed.  $\epsilon_1^0 = 0,01$  ;  $\epsilon_2^0 = \epsilon_3^0 = \gamma_4^0 = \gamma_5^0 = \gamma_6^0 = 0$
- zweite Spalte über Randbedingung  $\epsilon_2^0 = 0,01$  ;  $\epsilon_1^0 = \epsilon_3^0 = \gamma_4^0 = \gamma_5^0 = \gamma_6^0 = 0$
- etc.
- Berechnung der Ingenieurkonstanten  $E_1, E_2, G_{12}$  etc. anhand der Steifigkeitskomponenten  $\bar{C}_{ij}$

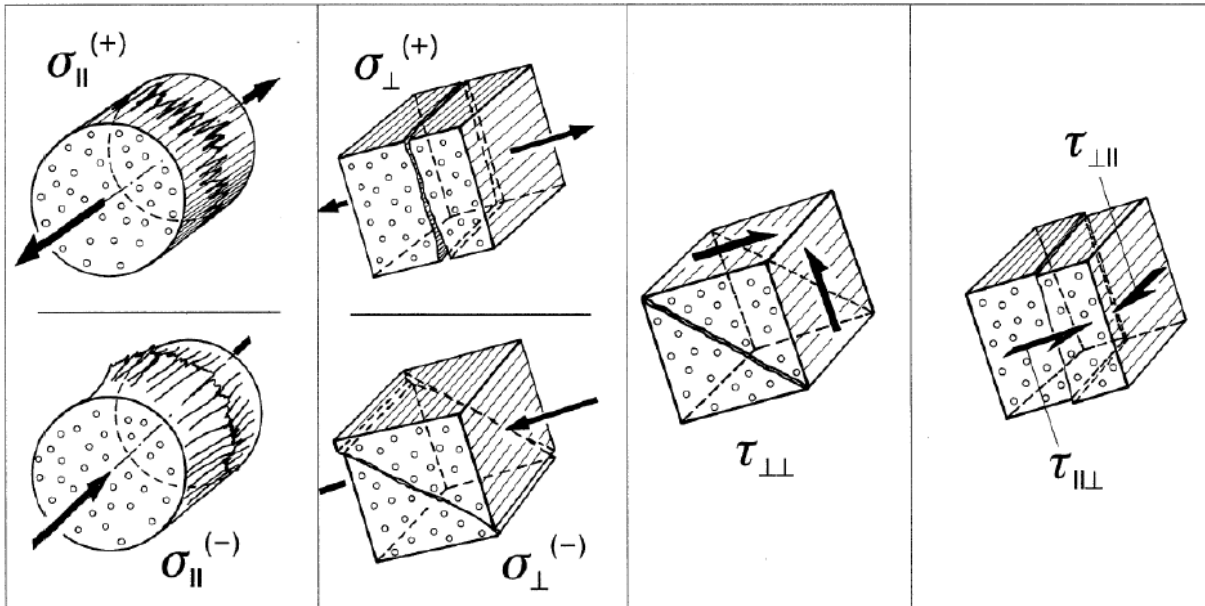
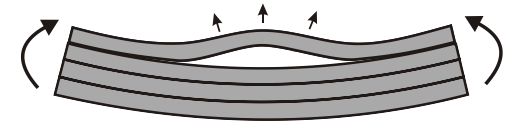
# Übersicht Vorlesung „Berechnung von Faserverbundlaminaten“

1. Einleitung
2. **Mikromechanik und Homogenisierung des Faser-Matrix-Verbundes**
  - Homogenisierung der Steifigkeiten: kurze Wiederholung
  - *Übung: Effektive Steifigkeiten*
  - **Versagensmechanismen auf Mikroebene: Veranschaulichung**
  - *Übung: Effektive Festigkeiten*
3. Makromechanisches Verhalten der Einzelschicht
4. Makromechanisches Verhalten des Mehrschichtverbunds
5. Finite Elementformulierungen für Mehrschichtlaminat
6. Versagens- und Schädigungsanalyse von Mehrschichtlaminaten
7. Auslegung von Mehrschichtlaminaten

# 2 Mikromechanik (Wiederholung)

## Versagensverhalten von FVK

- Versagensverhalten ist von der Belastungsbedingung und der Faserorientierung abhängig
- Physikalische Versagensmechanismen, die zum Versagen führen können:
  - Faserbruch innerhalb der UD-Schicht (intralaminar)
  - Zwischenfaserbruch innerhalb der UD-Schicht (intralaminar)
  - Delamination zwischen zwei UD-Schichten (interlaminar)



Versagensmechanismen (Quelle: A. Puck, Festigkeitsanalyse von Faser-Matrix-Laminaten, 1996)

## 2 Mikromechanik (Wiederholung)

### Zugfestigkeit in Faserrichtung

- Annahmen für die einfache Mischungsregel:
  - gleiche Dehnungen
  - Faserbruchdehnung ist kleiner gleich der Matrixbruchdehnung

$$X_t = X_{f,t} \varphi_f + \sigma_m(\varepsilon_{ft,max})(1 - \varphi_f)$$

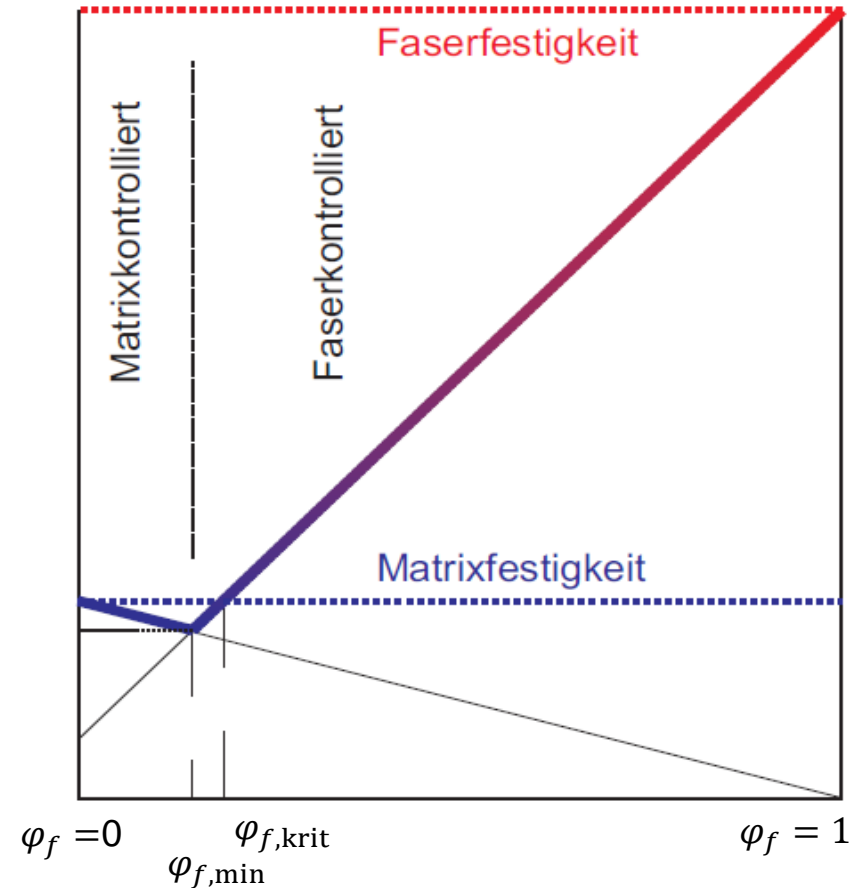
- Verbesserte Versagenshypothesen zur Berücksichtigung von Streuungen, Nachbarfasern und/oder Interfaceigenschaften

### Druckfestigkeit in Faserrichtung

- Stabilität der Fasern muss berücksichtigt werden
- gegenphasiges, gleichphasiges oder örtliches Mikroknicen

### Querzug-, Querdruck-, Schubfestigkeit

- Mischungsregel auf Basis von Matrixbruchdehnung und regelmäßiger Faseranordnung
- Schwächen dieser Annahmen: Streuungen, Interface-Versagen, geneigte Bruchebene unter Druckbelastung u.a.



# 2 Mikromechanik: Longitudinal-Zugfestigkeit

## Zugfestigkeit in Faserrichtung

- Annahmen für die einfache Mischungsregel:
  - gleiche Dehnungen
  - Faserbruchdehnung ist kleiner gleich der Matrixbruchdehnung

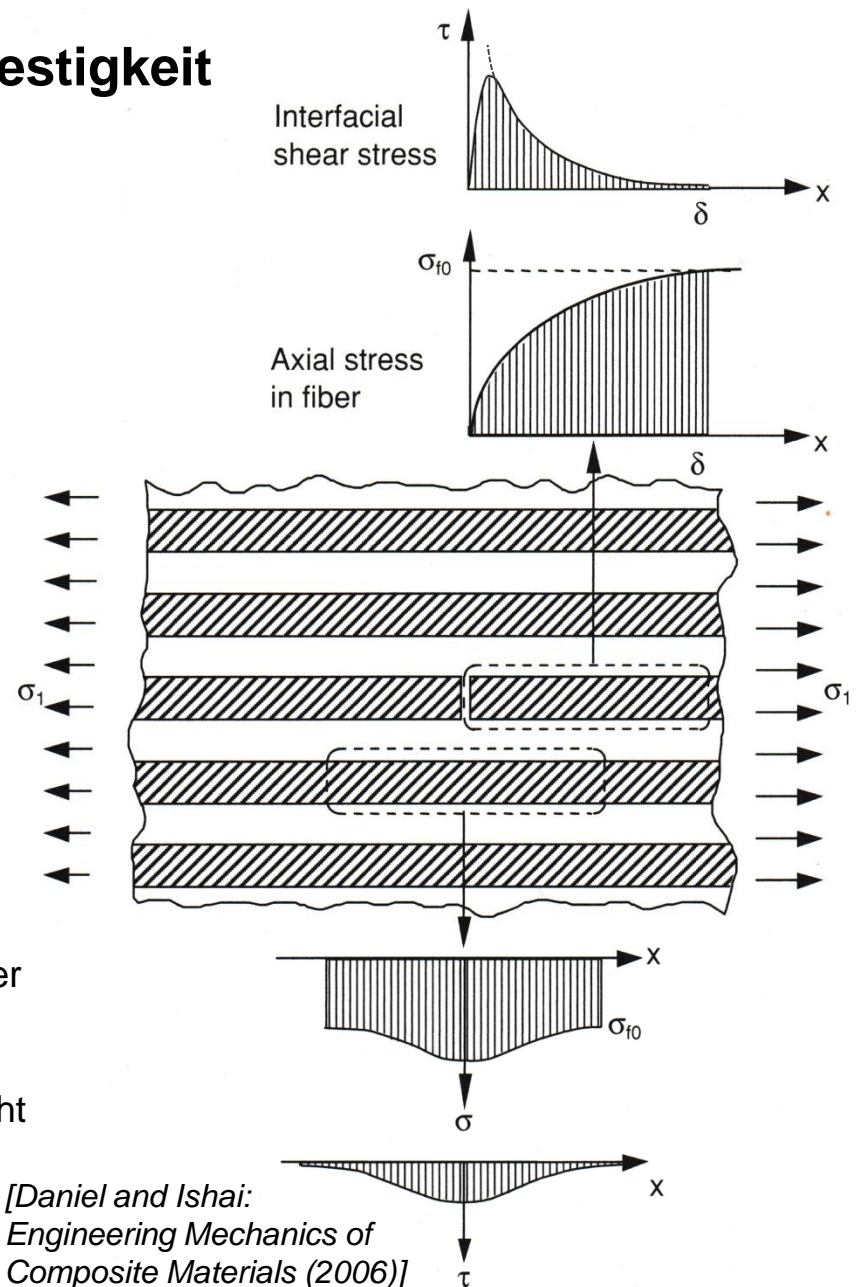
$$X_t = X_{f,t} \varphi_f + \sigma_m(\varepsilon_{ft,max})(1 - \varphi_f)$$

- Unter Annahmen linearer Elastizität bis zum Bruch kann  $X_t$  in Abhängigkeit der elast. Kennwerte formuliert werden

$$X_t = f(X_{f,t}, \varphi_f, E_m, E_f)$$

$$X_t = X_{f,t} \left( \varphi_f + \frac{E_m}{E_f} (1 - \varphi_f) \right)$$

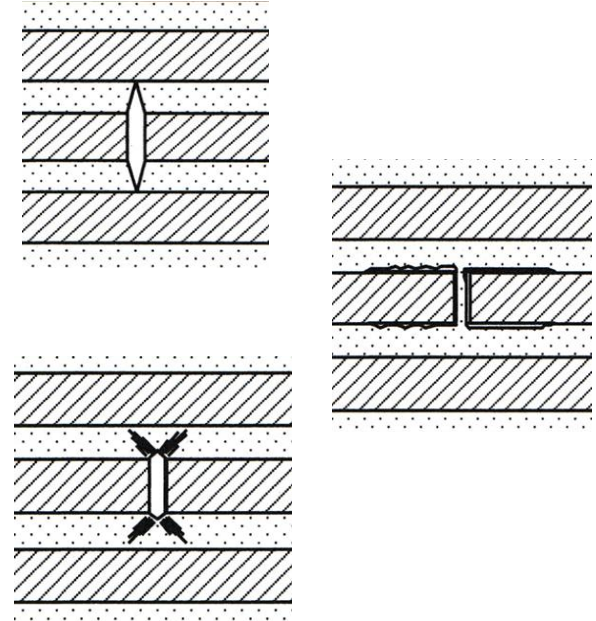
- In Realität ist die Faserfestigkeit nicht konstant, sondern über die Faserlänge und von Faser zu Faser statistisch verteilt
  - nicht alle Fasern versagen gleichzeitig
  - eine nicht-konstante Spannungsverteilung entsteht in der Nachbarschaft des Faserbruch
- Schubspannungspeak am Interface
- erhöhte Normalspannung in Nachbarfasern



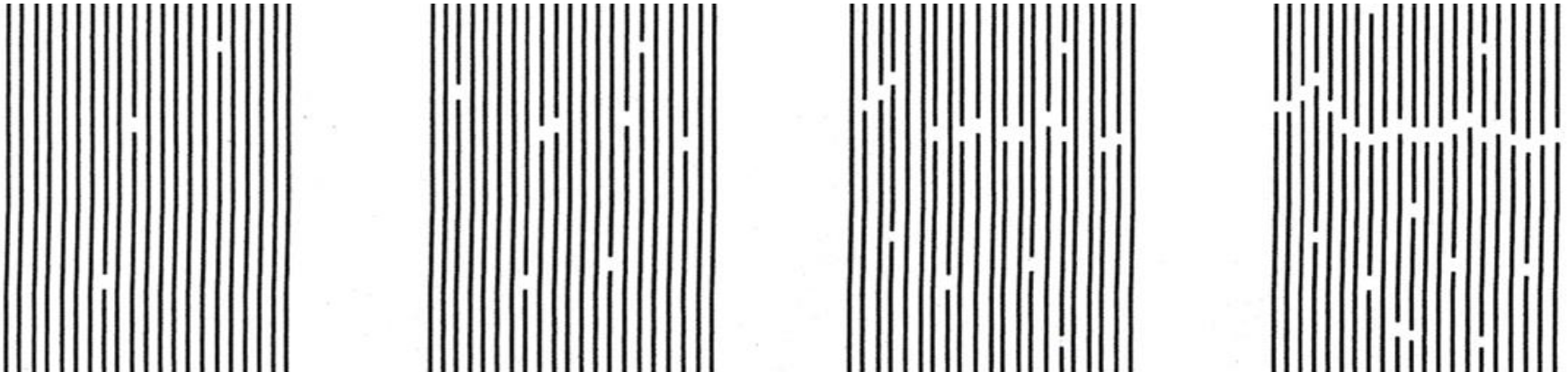
[Daniel and Ishai:  
Engineering Mechanics of  
Composite Materials (2006)]

## 2 Mikromechanik: Longitudinal-Zugfestigkeit

- Initiale Faserbrüche bewirken unterschiedliches Schadenswachstum, je nach Art des Materials:
  - Spröde Matrix und festes Interface  
→ Matrix-Zugversagen
  - Schwaches Interface und/oder große Faserbruchdehnung:  
→ Faser-Matrix-Ablösung
  - Duktile Matrix und festes Interface:  
→ Matrix-Schubversagen
- meist lokalisiert der Schaden in den benachbarten Fasern
- mit wachsender Last steigt die Dichte der Einzelfaserbrüche, benachbarte Faserbrüche nehmen zu
- lokalisierte Schäden interagieren und führen schließlich zum Totalversagen



[Daniel and Ishai:  
Engineering Mechanics of  
Composite Materials (2006)]



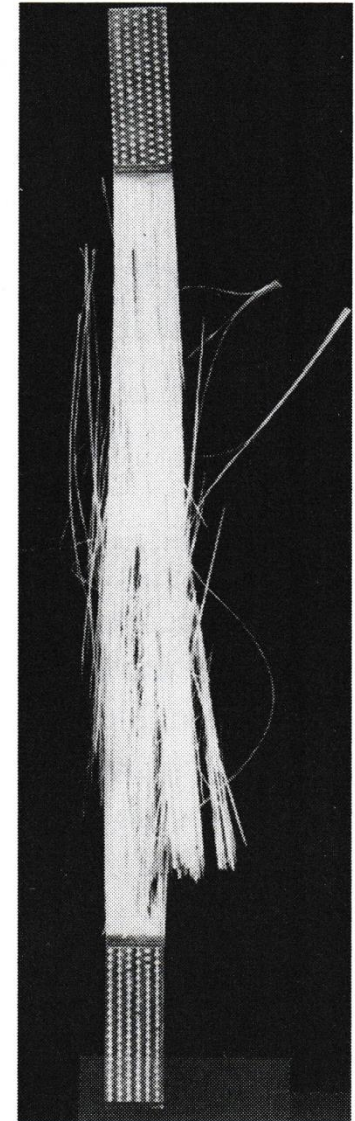
## 2 Mikromechanik: Longitudinal-Zugfestigkeit

### Typische Versagensmuster bei Faserzugbruch

- **Boron/Epoxy-Verbund** (links)
  - sprödes Faser- und Matrix-Versagen
  - kaum Interface-Versagen
- **S-Glas/Epoxy-Verbund** (rechts)
  - hohe Bruchdehnung der Fasern
  - ausgeprägtes Interface-Versagen



Boron/epoxy



S-glass/epoxy

*[Daniel and Ishai:  
Engineering Mechanics of  
Composite Materials (2006)]*

# 2 Mikromechanik: Longitudinal-Zugfestigkeit

## Unwirksame Faserlänge

- neben einem Faserbruch steigt die Fasertension von 0 an und nähert sich exponentiell der vollen Fasertension  $\sigma_{f0}$  an
- Ansatz von Rosen et al. (1964) zur Beschreibung des Spannungsanstiegs in der Faser:

$$\sigma_f(x) = \sigma_{f0}(1 - e^{-\gamma x})$$

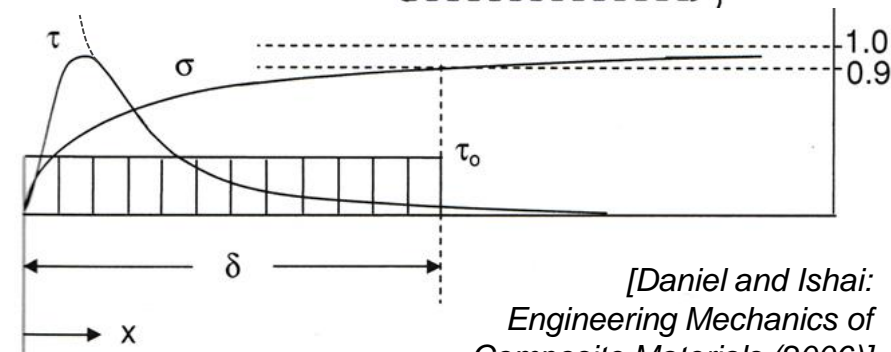
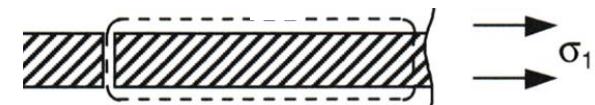
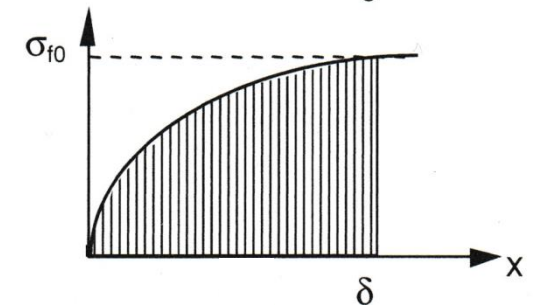
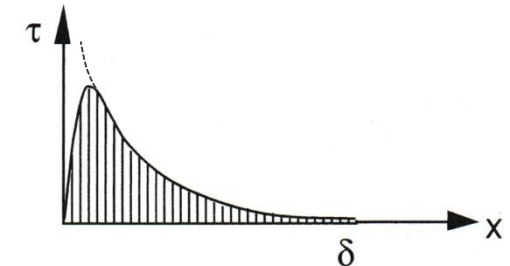
mit  $x$  = Abstand vom Faserbruch  
 $d$  = Faserdurchmesser

$$\gamma = \sqrt{\frac{G_m}{E_f} \frac{\sqrt{\varphi}}{1 - \sqrt{\varphi}} \frac{2}{d}}$$

- **unwirksame Faserlänge  $\delta$ :**  
 Abstand vom Faserbruch bis zu einem spezifischen Anteil  $k = \frac{\sigma_f}{\sigma_{f0}}$  der vollen Fasertension  $\sigma_{f0}$ ,  
 üblich ist  $k = 0,9$

### Aufgabe: Wie groß ist $\delta$ ?

(in Abhängigkeit der Materialkennwerte und des Faserdurchmessers  $d$ , und unter Annahme von  $k = 0,9$ )



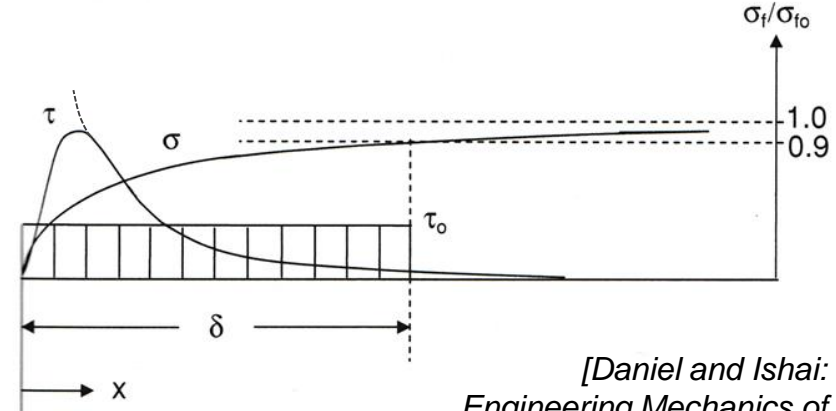
[Daniel and Ishai:  
 Engineering Mechanics of  
 Composite Materials (2006)]

## 2 Mikromechanik: Longitudinal-Zugfestigkeit

### Unwirksame Faserlänge $\delta$

- Abstand vom Faserbruch bis zu einem spezifischen Anteil  $k = \frac{\sigma_f}{\sigma_{f0}} = 0,9$  der vollen Faserspannung  $\sigma_{f0}$

$$\delta = -\frac{\ln(1-k)}{\gamma} = 1,15 \sqrt{\frac{E_f}{G_m} \frac{1-\sqrt{\varphi}}{\sqrt{\varphi}}} d$$



[Daniel and Ishai:  
Engineering Mechanics of  
Composite Materials (2006)]

### Schubspannung am Interface $\tau_i(x)$

- Berechnung über Gleichgewichtsbeziehung  $\frac{\partial \sigma_f}{\partial x} = -\frac{4\tau_i}{d}$

unter Anwendung des Ansatzes von Rosen et al.  $\sigma_f(x) = \sigma_{f0}(1 - e^{-\gamma x})$

$$\text{mit } \gamma = \sqrt{\frac{G_m}{E_f} \frac{\sqrt{\varphi}}{1-\sqrt{\varphi}}} \frac{2}{d}$$

**Aufgabe: Wie groß ist die Schubspannung am Interface?** (in Abhängigkeit von  $x$  sowie von den Materialkennwerten, Faserdurchmesser  $d$  und der vollen Faserspannung  $\sigma_{f0}$ )

- Schubspannung am Interface:  $\frac{\tau_i(x)}{\sigma_{f0}} = -\frac{d}{4} \gamma e^{-\gamma x} = -\frac{1}{2} \sqrt{\frac{G_m}{E_f} \frac{\sqrt{\varphi}}{1-\sqrt{\varphi}}} e^{-\gamma x}$

## 2 Mikromechanik: Longitudinal-Zugfestigkeit

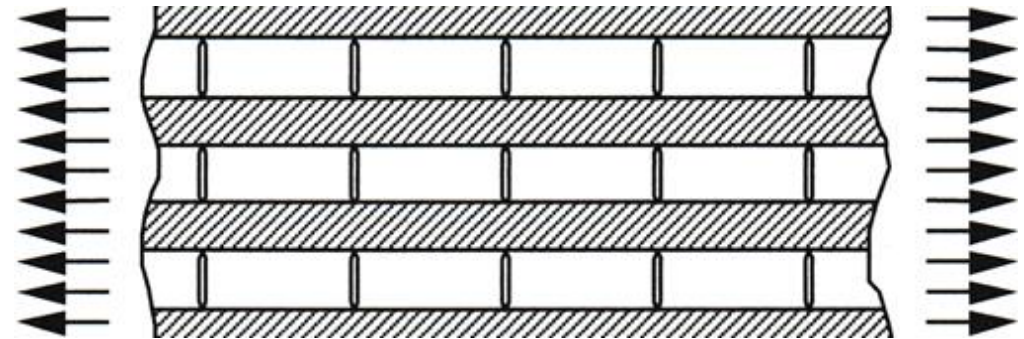
### Zugversagen bei spröder Matrix

- Bruchdehnung der Matrix ist geringer als die der Fasern

$$\varepsilon_{mt,max} \leq \varepsilon_{ft,max}$$

(z.B. Verbunde mit Keramik-Matrix)

→ Initiale Schädigung sind Matrixrisse



- Verbundfestigkeit wird von Matrixfestigkeit bestimmt:

$$X_t = X_{m,t} (1 - \varphi_f) + \sigma_f(\varepsilon_{mt,max}) \varphi_f$$

- Unter Annahmen linearer Elastizität bis zum Bruch kann  $X_t$  in Abhängigkeit der elast. Kennwerte formuliert werden

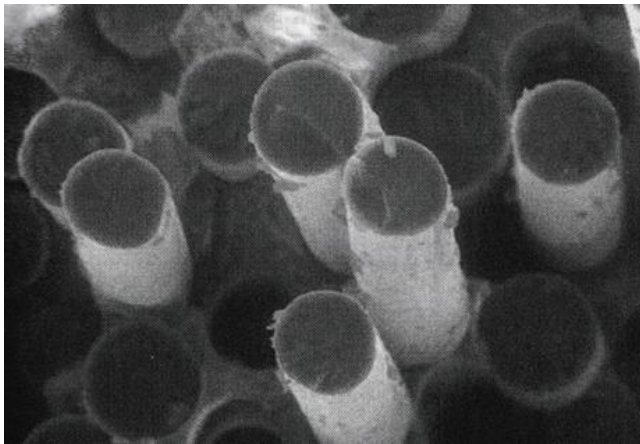
$$X_t = f(X_{m,t}, \varphi_f, E_m, E_f)$$

$$X_t = X_{m,t} \left( \frac{E_f}{E_m} \varphi_f + (1 - \varphi_f) \right)$$

## 2 Mikromechanik: Longitudinal-Zugfestigkeit

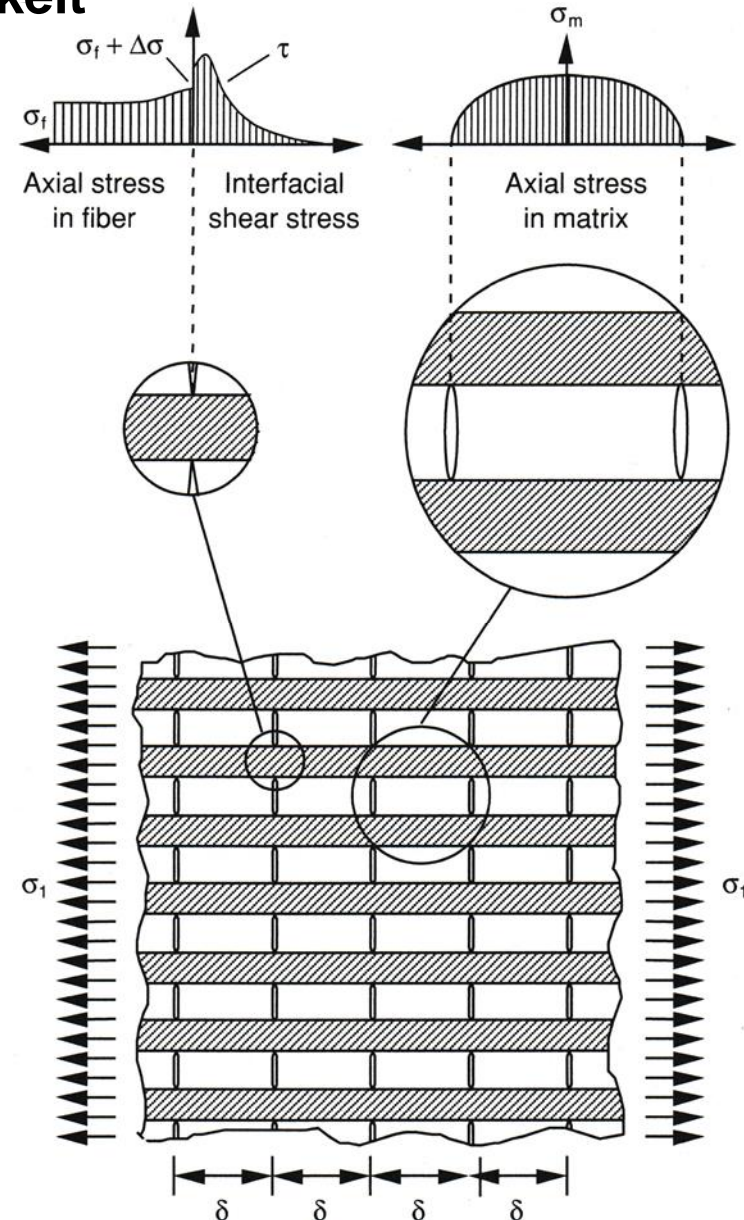
### Schadenswachstum bei spröder Matrix

- Lokale Spannungsverteilung neben den Matrixrissen
  - Schubspannungs-Peak am Interface
  - erhöhte Zugspannung in benachbarten Fasern
- Es folgen Faser-Matrix-Ablösung und schließlich Faserbruch, sichtbar durch:
  - Matrixbruch, Faserbruch und Faserauszug



[Daniel and Ishai: *Engineering Mechanics of Composite Materials* (2006)]

- Die Berechnung effektiver Zugfestigkeiten in Faserrichtung hängt ab vom Material, vom Faservolumengehalt sowie von Anordnung und Geometrie der Fasern



# 2 Mikromechanik: Transversal-Zugfestigkeit

## Transversale Zugbelastung

- Einfache Mischungsregel unter Annahme des Erreichens der Bruchdehnung  $\varepsilon_{mt,max}$  der Matrix:

$$Y_t = E_2 \varepsilon_{2t,max} \quad \text{mit} \quad \varepsilon_{2t,max} = \left[ \frac{d}{s} \frac{E_m}{E_f} + \left( 1 - \frac{d}{s} \right) \right] \varepsilon_{mt,max}$$

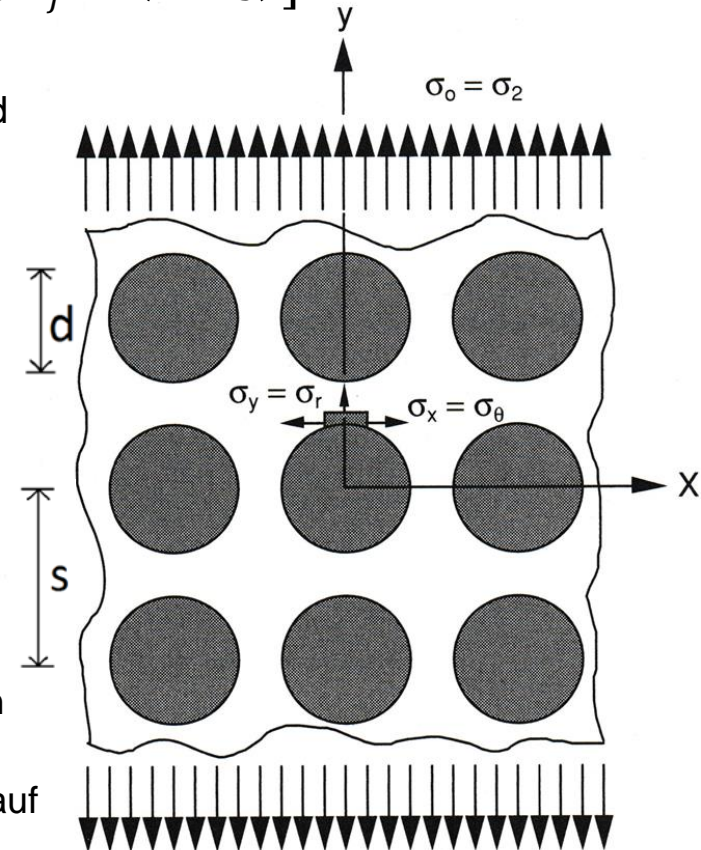
- Mischungsregel beruht auf einigen unzulässigen Annahmen und ist nicht zuverlässig anwendbar

- Effektive Zugfestigkeit = bruchmechanische Phänomene auf Mikroebene (Risswachstum)
- Faseranordnung ist in der Realität nicht regelmäßig
- Zugfestigkeit in Faser und Matrix streut stark
- hohe Spannungs- und Verzerrungskonzentrationen
  - zu den lastinduzierten Spannungen kommen Eigenspannungen hinzu, die z.B. während der Aushärtung entstehen
- Kritische Spannungen und Verzerrungen treten i.d.R. am Faser-Matrix-Interface auf
  - Quersugversagen kann auch durch Interface-Versagen verursacht sein

- Spannungsspitze in der Matrix tritt in Zugrichtung am Interface auf

- Spannungskonzentrationsfaktor:

$$k_\sigma = \frac{\sigma_{r,max}}{\sigma_2}$$



[Daniel and Ishai: Engineering Mechanics of Composite Materials (2006)]

# 2 Mikromechanik: Transversal-Zugfestigkeit

## Transversale Zugbelastung

- Ermittlung des Spannungskonzentrationsfaktors in Abhängigkeit des Faservolumengehalts für verschiedene Materialsysteme (mittels Finite-Differenzen-Methode und Photoelastischer Methode)

Unter Annahme von

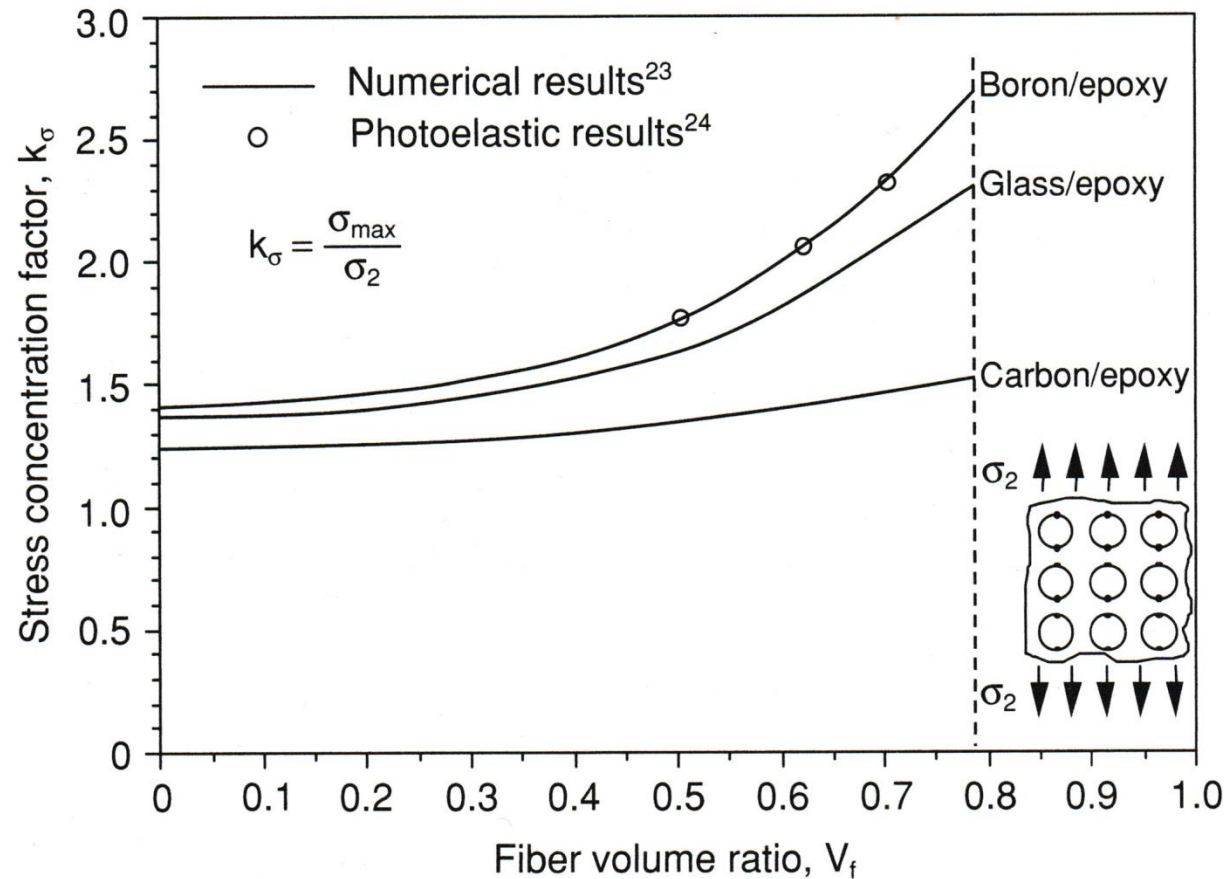
- Maximalspannungskriterium
- linear-elastischem Verhalten bis zum Matrixbruch
- perfekter Faser-Matrix-Anbindung

ergibt sich die **effektive transversale Zugfestigkeit**:

$$Y_t = \frac{Y_m}{k_\sigma}$$

- wenn zusätzlich fertigungsbedingte Eigenspannungen  $\sigma_{rm}$  berücksichtigt werden, ergibt sich:

$$Y_t = \frac{1}{k_\sigma} (Y_m - \sigma_{rm})$$

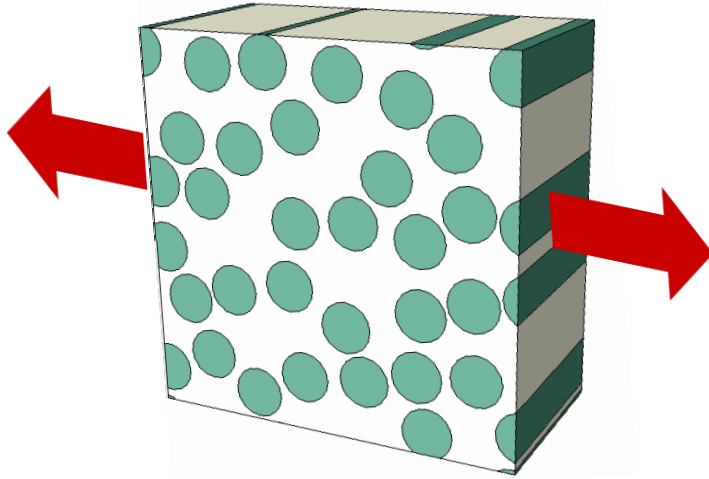


[Daniel and Ishai: Engineering Mechanics of Composite Materials (2006)]

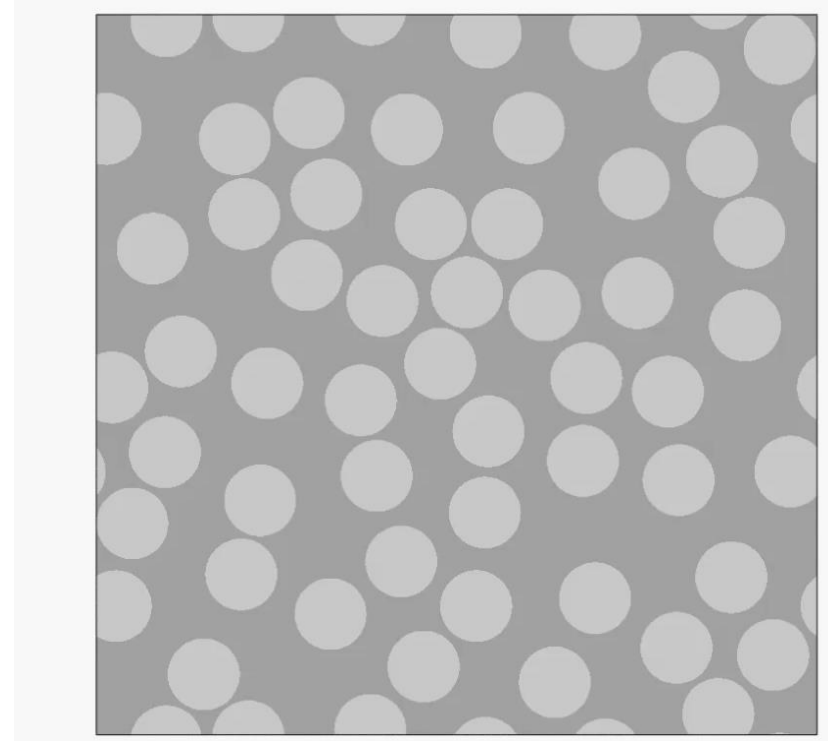
## 2 Mikromechanik: Transversal-Zugfestigkeit

### Transversale Zugbelastung: Numerische Analyse mit SRVE

- SRVE = Statistisches Repräsentatives Volumenelement



- durch unregelmäßige Faseranordnung und große Steifigkeitsunterschiede zwischen Fasern und Matrix entstehen lokale Spannungsspitzen, die zu Mikrorissen führen
- Schadenswachstum: Mikrorisse wachsen und verbinden sich zu größeren Rissen, die schließlich zum Versagen der Schicht führen  
→ Makroriss (= Zwischenfaserbruch, Matrixbruch)

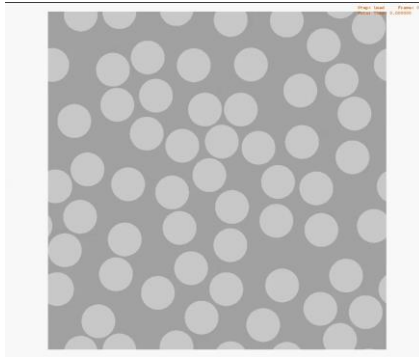


[Dominik Naake: Promotion in Kooperation mit Bosch (2018)]

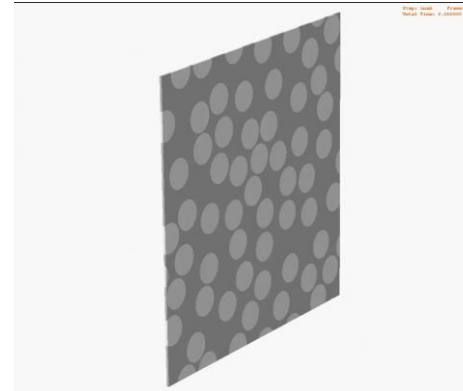


## 2 Mikromechanik: Virtuelle Experimente mittels SRVE

⊥-Tension



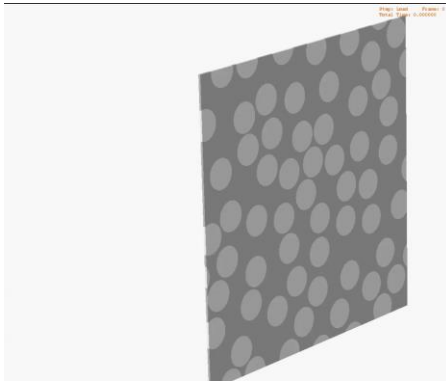
⊥-Tension/Shear



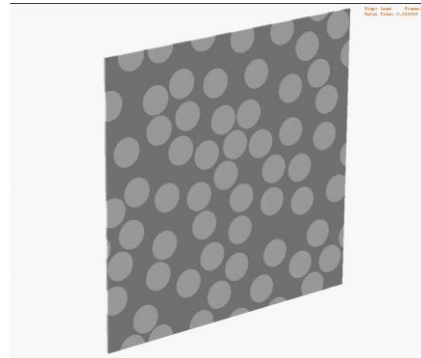
[Dominik Naake:  
Promotion in  
Kooperation mit  
Bosch (2018)]



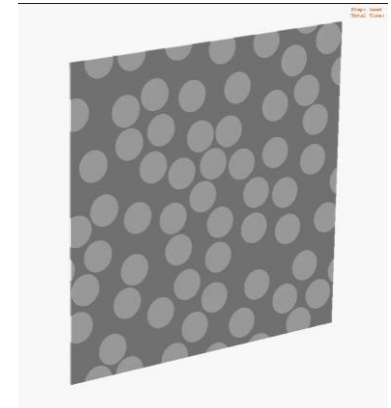
Shear



⊥-Compression/Shear



⊥-Compression



- Numerische Studien mittels SRVE: Analyse des Schädigungsverhaltens auf Mikroebene
- Numerische Homogenisierung mittels SRVE: Parameterfitting eines (effektiven) Materialmodells auf Makroebene über die Berechnung verschiedener Belastungsszenarien und mehrerer statistischer Realisierungen des SRVE

[D. Naake, F. Welschinger, L. Kärger, F. Henning. A three-dimensional damage model for transversely isotropic composites in the framework of finite strain. *21st International Conference on Composite Materials (ICCM21)*, Xi'An, China, 2017.]

# Übersicht Vorlesung „Berechnung von Faserverbundlaminaten“

1. Einleitung
2. **Mikromechanik und Homogenisierung des Faser-Matrix-Verbundes**
  - Homogenisierung der Steifigkeiten: kurze Wiederholung
  - *Übung: Effektive Steifigkeiten*
  - Versagensmechanismen auf Mikroebene: Veranschaulichung
  - ***Übung: Effektive Festigkeiten***
3. Makromechanisches Verhalten der Einzelschicht
4. Makromechanisches Verhalten des Mehrschichtverbunds
5. Finite Elementformulierungen für Mehrschichtlaminat
6. Versagens- und Schädigungsanalyse von Mehrschichtlaminaten
7. Auslegung von Mehrschichtlaminaten

## 2 Mikromechanik: Übung Effektive Festigkeiten

**Gesucht:** Verbundfestigkeit, bei der die erste der beiden Komponenten versagt

### ■ Carbonfaser-Epoxy-Verbund mit $\varphi = 0,65$

#### Faserwerte Carbon

$$E_{1f} = 235 \text{ GPa}$$

$$X_{ft} = 3450 \text{ MPa}$$

#### Matrixwerte Epoxy

$$E_m = 4,14 \text{ GPa}$$

$$X_{mt} = 104 \text{ MPa}$$

Faserversagen:

$$X_t = X_{f,t} \left( \varphi_f + \frac{E_m}{E_f} (1 - \varphi_f) \right)$$
$$= \underline{\underline{2.263,8 \text{ MPa}}}$$

Matrixversagen:

$$X_t = X_{m,t} \left( \frac{E_f}{E_m} \varphi_f + (1 - \varphi_f) \right)$$
$$= 3.873,6 \text{ MPa}$$

### ■ Siliziumkarbid-Keramik-Verbund mit $\varphi = 0,4$

#### Faserwerte Siliziumkarbid

$$E_{1f} = 172 \text{ GPa}$$

$$X_{ft} = 1930 \text{ MPa}$$

#### Matrixwerte Keramik

$$E_m = 97 \text{ GPa}$$

$$X_{mt} = 138 \text{ MPa}$$

Faserversagen:

$$X_t = X_{f,t} \left( \varphi_f + \frac{E_m}{E_f} (1 - \varphi_f) \right)$$
$$= 1.425,1 \text{ MPa}$$

Matrixversagen:

$$X_t = X_t = X_{m,t} \left( \frac{E_f}{E_m} \varphi_f + (1 - \varphi_f) \right)$$
$$= \underline{\underline{180,7 \text{ MPa}}}$$

## 2 Mikromechanik: Übung Effektive Festigkeiten

**Aufgabe:** Wie groß ist die maximale Schubspannung am Faser-Matrix-Interface, die neben einem Faserbruch entstehen kann?

- **Carbonfaser-Epoxy-Verbund** mit  $\varphi = 0,65$

### Faserwerte Carbon

$$E_{1f} = 235 \text{ GPa}$$

$$X_{ft} = 3450 \text{ MPa}$$

$$d = 8 \mu\text{m}$$

### Matrixwerte Epoxy

$$E_m = 3,45 \text{ GPa}$$

$$G_m = 1,27 \text{ GPa}$$

- Schubspannungsverteilung:

$$\frac{\tau_i(x)}{\sigma_{f0}} = -\frac{d}{4} \gamma e^{-\gamma x}$$

- Maximale Schubspannung unmittelbar neben dem Faserbruch ( $x=0$ )

$$\gamma = \sqrt{\frac{G_m}{E_f} \frac{\sqrt{\varphi}}{1-\sqrt{\varphi}} \frac{2}{d}} = 34,1 \frac{1}{\text{mm}}$$

$$\tau_{i,max} = -235 \text{ MPa}$$

# FAST-LBT Kontakte

Karlsruher Institut für Technologie (KIT)  
**FAST** Institut für Fahrzeugsystemtechnik  
**LBT** Lehrstuhl für Leichtbautechnologie



Rintheimer-Querallee 2, 76131 Karlsruhe  
Tel.: +49 (721) 608-45905  
<http://www.fast.kit.edu/>

**Lehrstuhlleitung**  
**Prof. Dr.-Ing. Frank Henning**

frank.henning@kit.edu, phone +49 721 608 45905  
frank.henning@ict.fraunhofer.de, +49 721 4640 711

**Stellvertretende Lehrstuhlleitung**  
**Dr.-Ing. Luise Kärger**

luise.kaerger@kit.edu, phone +49 721 608 45386

**Themenfeldkoordination Prozesssimulation**  
**M. Sc. Nils Meyer**

nils.meyer@kit.edu, Tel. +49 721 608 45385

**Themenfeldkoordination CAE-Kette und Struktursimulation**  
**M. Sc. Constantin Krauß**

constantin.krauss@kit.edu, Tel. +49 721 608 45896